

モルタル目地を有するコンクリート接合材の圧縮耐力に関する一考察

岐阜大学 正員 小林和夫

1. まえがき

現在、プレキャストコンクリートの接合構造の目地材としてモルタル、コンクリート、樹脂接着剤が用いられているが、それぞれ一長一短を有するものである。本研究は、これらうちモルタルを対象にし、モルタルの圧縮強度が母材コンクリートより小さい場合について接合材の圧縮耐力と目地厚の関係を考察したのである。これは明らかではないが、検討を要する興味ある問題である。

2. 試験の概要

供試体は図-1のようく $10 \times 10 \times 40 \text{ cm}$ の角柱とし、その中央位置に厚さ $0.75, 1.0, 1.5, 2, 3, 5 \text{ cm}$ (それが b/h で整理すると $13.3, 10.0, 6.7, 5, 3.3, 2$ に対応する) のモルタル目地を設け、図示のような圧縮試験を行なった。これと同時に同一の角柱供試体を用いてコンクリートならびにモルタル単体の圧縮試験を実施した。

① コンクリートとモルタルの配合

表-1 コンクリートとモルタルの配合

(1) コンクリート

種類	W/C (%)	C (kg/m^3)	W (kg/m^3)	S (kg/m^3)	G	骨材最大寸法	混和剤 C (%)
C-1	28.3	600	170	530	1080	15 mm	—
C-2	22.7	600	136	530	1139	15 mm	ホーリング 1.5

(2) モルタル

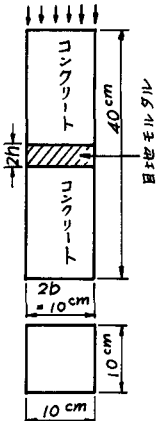
種類	W/C (%)	C (kg/m^3)	W (kg/m^3)	S (kg/m^3)	骨材最大寸法
M-1	52.5	705	370	1058	2.5 mm
M-2	47.5	731	347	1096	2.5 mm

図-1 供試体

表-1 に示すものを用い、各々の配合の組合せにより次の4 Case を構成した。

- (1) Case 1 (C-1, M-1), (2) Case 2 (C-1, M-2), (3) Case 3 (C-2, M-1), (4) Case 4 (C-2, M-2)

載荷試験の結果を各 Case について、縦軸に σ_{cc} (σ: 接合材の圧縮強度, σ_{cc}: 母材コンクリートの圧縮強度), 横軸に b/h をとって整理したものを図-3 に示す。ただし、図示の $b/h=0$ に対する σ_{cc} の値は各 Case に使用したモルタル单体強度のコンクリート強度に対する比を示し、その値は Case 1: 0.71, Case 2: 0.76, Case 3: 0.54, Case 4: 0.66 である。なお、載荷試験時の母材コンクリートの圧縮強度は C-1 配合: 約 650 kg/cm^2 , C-2 配合: 約 850 kg/cm^2 である。



3. 結果の解析

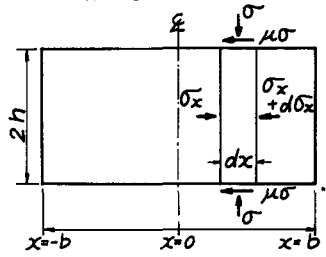
モルタル单体の強度がコンクリートより小さくても、図-3 のようく目地厚が薄くなるにつれて接合材の圧縮強度はモルタル单体強度より大きくなっている。これは目地モルタルの横変形がコンクリートに拘束されるためと考えられる。

このことを考慮して目地モルタルに対する応力状態を仮定したのが図-2 である。こでは図示のように横変形の拘束は接合面のまっか μ_0 によって与えられるものと考えてある。

図-2 に示す微小要素 dx 間の力のつり合から、次式がえられる。

$$2h \cdot d\sigma_x + 2\mu_0 \cdot dx = 0, \text{ すなはち } \frac{d\sigma_x}{dx} + \mu_0/h = 0 \quad (1)$$

一方、側方より圧縮応力を受ける状態での圧縮強度は従来の研究によ



ると次式がえられる。

$$\sigma = \sigma_{CM} + \mu k \bar{\sigma}_x \quad (2)$$

ここで μk , σ_{CM} はモルタルの
一軸圧縮強度を表す。

式(2)の $\bar{\sigma}_x$ を式(1)に代入すると、

$$\frac{d\sigma}{dx} + \mu k \sigma/h = 0 \quad (3)$$

$x=b$ で $\bar{\sigma}_x=0$, すなはち $\sigma=\sigma_{CM}$
なる境界条件を考慮して式(3)

を解くと、次式がえられる。

$$\sigma = \sigma_{CM} \cdot e^{\mu k(b-x)/h} \quad (4)$$

式(4)の平均応力 $\bar{\sigma}_m$ は、

$$\bar{\sigma}_m = \frac{\int_0^b \sigma_{CM} \cdot e^{\mu k(b-x)/h} dx}{b}$$

$$= \sigma_{CM} \frac{h}{\mu k b} [e^{\mu k b/h} - 1]$$

$$= \sigma_{CM} \frac{h}{\mu k b} [\mu k \left(\frac{b}{h}\right) + \frac{1}{2} (\mu k)^2 \left(\frac{b}{h}\right)^2] \quad (5)$$

$\mu k \cdot \left(\frac{b}{h}\right)$ が小さく場合には、
式(5)の [] 内は第2項を考慮
すれば十分である。したがって、

$$\bar{\sigma}_m = \sigma_{CM} \left[1 + \frac{1}{2} \mu k \cdot \left(\frac{b}{h}\right) \right] \quad (6)$$

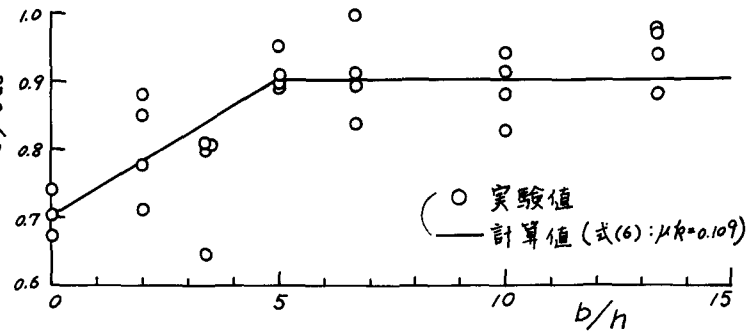
式(6)は $\mu k \cdot \left(\frac{b}{h}\right)$ が小さい範囲
では、目地モルタルの見掛け
の圧縮強度は b/h に比例して
増加することを示している。

本実験の結果によると、図
3 のように Case 1 で
 $b/h < 5$ の範囲では σ/σ_{CC}
と b/h の間に近似的に直線関
係の存在することが認められ、
式(6)が妥当と考えられる。

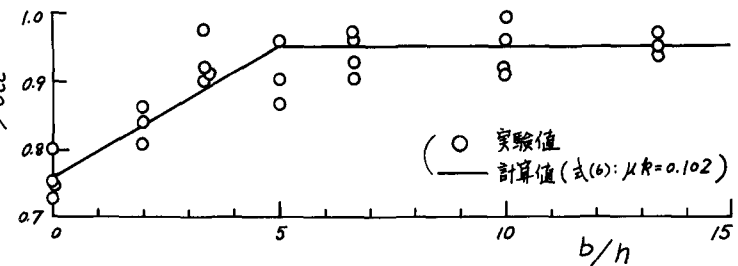
実験結果から求めた μk を
図3中に示したが、 σ/σ_{CC} が
減少するほど大きくなるよ
うである。また、 $b/h > 5$ に対
する σ/σ_{CC} は図示の実線のよ
うに $b/h = 5$ の σ/σ_{CC} と同一と考
えておくのが安全である。

図-3 σ/σ_{CC} と b/h の関係

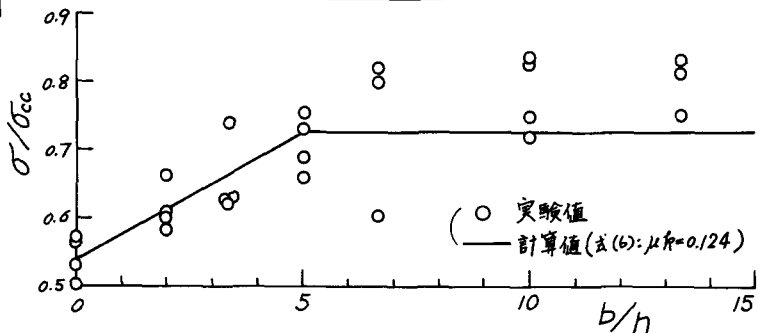
(1) Case 1



(2) Case 2



(3) Case 3



(4) Case 4

